

Си Н С

1991

Мусаев Д.Н., Чарков Д.Н.,
Коопровод. Химии. 1991,
17, № 4, с. 548-551.

М.Н. Термическое управление
реакции в молекулах Си Н С и
Си Н С.

Докт. № 17, 1991, 17 51073

CuNCS

1991

9 Д98. Теоретическое изучение изомерии в молекулах CuCNS и CuNCS / Мусаев Д. Г., Чаркин О. П. // Координац. химия.— 1991.— 17, № 4.— С. 548—551

Неэмпирическим методом МО ЛКАО ССП рассчитаны потенц. поверхности (ПП) изомерных перегруппировок $\text{CuNCS} \leftrightarrow \text{NCSCu}$ (I) и $\text{CuCNS} \leftrightarrow \text{CNSCu}$ (II), соответствующие миграции катиона Cu^+ вокруг анионов NCS^- и CNS^- . Найдено, что на них имеются два разделенных значительным энергетич. барьером минимума, отвечающих линейной (основной) и циклической (возбужденной) структурам — для перегруппировки I и II. Исследовано влияние природы катиона L^+ на формы ПП перегруппировок $\text{LNCS} \leftrightarrow \text{NCSL}$ и $\text{LCNS} \leftrightarrow \text{CNSL}$, где $L = \text{Li}$ и Cu . Показано, что замена Li^+ на Cu^+ в целом не меняет формы ПП перегруппировок, а лишь несколько усиливает их миграционную жесткость.

Резюме

М.Н.

сб 1991, № 9

HeCH_2^+

[DM. 37225]

1992

Bauschleicher Ch.W., H.,
Partridge H.,

(He) J. Chem. Phys., 1992, 97(10),
7471-7473.

LiCH_3^+

Om. 37084

1992

116: 159340w Bonding in the (CuCH_3^+) and carbonylism (FeCO^+) cations. Berthier, G.; Cimiraglia, R.; Daoudi, A. Mestdagh, H.; Rolando, C.; Suard, M. (Inst. Biol. Phys. Chem. F-75005 Paris, Fr.). THEOCHEM 1992, 86, 43-9 (Eng). The electronic structures and geometrical parameters of the CuCH_3^+ and FeCO^+ adducts as obsd. in mass spectroscopy expts. for instance were detd. by means of ab initio LCGO-SCF and perturbation Q calcns. These cations are predicted to be stable complexes in which the bonding between metal and ligand is mainly due to electrostatic factors, in accordance with previous results for the great majority of ML^+ complexes.

CNPKXNypa
u

OMASURBKSU



C.A. 1992, 16, N16

CuCH_4^+

Он. 37084

1992

8Д131. Связи в катионах CuCH_4^+ и FeCO^+ . Bonding in the CuCH_4^+ and FeCO^+ cations / Berthier G., Ciminaglia R., Daoudi A., Mestdagh H., Rolando C., Suard M. // J. Mol. Struct. Theochem.. — 1992. — 254. — С. 43—49. — Англ.

The electronic structures and geometrical parameters of the CuCH_4^+ and FeCO^+ adducts as observed in mass spectroscopy experiments for instance, were determined by means of ab initio LCGO-SCF and perturbation CI calculations. These cations are predicted to be stable complexes in which the bonding between metal and ligand is mainly due to electrostatic factors, in accordance with previous results for the great majority of ML^+ complexes.

(1) X



Ф. 1993, № 8

CuCO

1992

Jeung G.H.

Синтезировано в

Докт.евдзб
в основной
смеси.

J. Am. Chem. Soc.

1992, 114 (9), 3211-

3213.

(сеп.  SeCS; II)

CeC3

1992

Juang F.H.,

J. Amer. Chem. Soc., 1992, 114,
N9, C. 3211 - 3213.

M.N.

(all .



Sc CS; III)

Lie CO

1992

Gueng F.H.,

J. Amer. Chem. Soc., 1992,
M.N. 114, N9, C. 3211 - 3213.

(all. sc ls;  III)

CuClCO

1992

lk b
mannus,
Pi, ΔfH:

116: 74806c Characterization of matrix-isolated carbonylclocrocopper. IR spectroscopic investigation and ab initio calculation. Plitt, Harald S.; Baer, Michael R.; Ahlrichs, Reinhart; Schnoeckel, Hansgeorg (Inst. Anrog. Chem., LM Muenchen, D-8000 Munich, 2 Germany). *Inorg. Chem.* 1992, 31(3), 463-5 (Eng). Cocondensation of CuCl and CO in an Ar matrix leads to new IR absorptions at ~2157 and ~362 cm⁻¹, which are assigned to a linear Cl-Cu-CO. Using large-scale ab initio calcns. (CPF, MP2) the CuC distance is predicted to be 181 pm (CPF) and the reaction energy of CuCl + CO → ClCu-CO is 155 kJ mol⁻¹ exothermic (CPF). Bonding in this complex is discussed. The CuC bond is formed by predominant σ-bonding from C to Cu while dπ²-back-donation from Cu to C plays a minor role.

CuClCO (ΔfH)

C.A. 1992, 116, N8

Cu(CO)

1992

• 14 Б1251. Идентификация изолированной в матрице молекулы Cu(CO)Cl. Исследование методом ИК-спектроскопии и неэмпирический расчет. Characterization of matrix-isolated Cu(CO)Cl. IR spectroscopic investigation and ab initio calculation / Plitt Harald S., Bär Michael R., Ahlrichs Reinhart, Schnöckel Hansgeorg // Inorg. Chem.— 1992.— 31, № 3.— С. 463—465.— Англ.

М.Н.

Измерены ИК-спектры поглощения продуктов соконденсации мономерных молекул CuCl и CO в аргоновой матрице. Наблюдались новые полосы поглощения отнесенные к линейным молекулам $\text{ClCu}(\text{CO})$: $^{35,37}\text{Cl}\text{Cu}(\text{CO})$: $^{12}\text{C}^{16}\text{O}$ — 2156,5 (ν_{CO}), 361,6/356,1 ($\nu_{\text{CuCl/CO}}$) (дублет связан с естественным изотопным составом хлора); $\text{ClCu}(\text{C}^{13}\text{C}^{16}\text{O})$ — 2107,4 и 358,7/353,9; $\text{ClCu}(\text{C}^{12}\text{C}^{18}\text{O})$ — 2107,8 и 355,8/350,0 cm^{-1} . Выполнен анализ нормальных координат и рассчитано силовое поле молекулы $\text{ClCu}(\text{CO})$ со след. значениями параметров (в мдин/А): $f(\text{CuCl}) = 2,34$; $f(\text{CuC}) = 2,35$; $f(\text{CO}) = 18,59$; $f(\text{CuCl}/\text{CuC}) = 0,1$; $f(\text{CuC/CO}) = 0,5$, $f(\text{CuCl/CO}) = 0$. Методами функционала связанных электронных пар (СЭП) с

X. 1992, N/4

использованием широкого базисного набора ф-ций и релятивистского псевдопотенциала на атоме меди и теории Мёллера — Плессета 2-го порядка с различными наборами базисных ф-ций (МП2) выполнены неэмпирич. расчеты молекул CuCl, CO, Cu(CO)Cl, Cu(OC)Cl. Вычисленные геометрич. параметры (в Å, метод СЭП) и частоты колебаний (в см⁻¹, метод МП2 в суженном базисе, в скобках даны относит. интенсивности соотв-щих полос в ИК-спектре) Cu(CO)Cl : $R(\text{Cu}-\text{Cl}) = 2,070$; $R(\text{Cu}-\text{C}) = 1,807$; $R(\text{C}-\text{O}) = 1,128$ (приведены также результаты расчетов двумя др. методами); $\nu(\Pi) = 103$ (2), $\nu(\Sigma^+) = 389$ (12), $\nu(\Pi) = 442$ (<1), $\nu(\Sigma^+) = 580$ (3), $\nu(\Sigma^+) = 2144$ (100) (аналогичные данные приведены для изомера Cu(OC)-Cl). Энергии р-ции образования, рассчитанные методом СЭП, составляют: CuCl + CO → Cu(CO)Cl + 155,2 кДж/моль, CuCl + CO → Cu(OC)Cl + 49,3 кДж/моль. Координация карбонильной группы осуществляется, следовательно, через атом углерода. Обсужден характер связи Cu—C.

Б. М. Ковба

чени

CuCH₃

1992

Sodupe M., Bauschlicher
Ch. W., Jr. et al.

u. n. Chem. Phys. Lett. 1992.

189, n 3. C. 266-272.

(cet. CuCD⁺; II°)

CH_3

Dipacquid

Godfrey M;

Bauschlicher C. W.,
et al

Chem. Phys. Lett.

1992, 189, (3) 266-72

Cod. Cu^{CO₃²⁻} (II)

field^t

1992

116: 138810j The calculation of the vibrational frequencies of copper carbonyl ion(1+), nickel carbonyl, and methylcopper (CuCO^+ , NiCO , and CuCH_3). Sodupe, M.; Bauschlicher, Charles W., Jr.; Lee, Timothy J. (Ames Res. Cent., NASA, Moffett Field, CA 94035 USA). *Chem. Phys. Lett.* 1992, 189(3), 266-72 (Eng.). The vibrational frequencies of CuCO^+ , NiCO , and CuCH_3 were computed at both the self-consistent-field (SCF) and coupled-cluster singles and doubles, with a perturbational est. of the triples (CCSD(T)), levels of theory. Overall the SCF frequencies are in qual. agreement with the CCSD(T) results. The calcns. show that the frequencies for the electrostatically bound CuCO^+ are quite different from the datively bound NiCO . The CCSD(T) calcns. support a previous suggestion that the CH stretches in CuCH_3 have been misassigned.

(Di, parent)

(t2)

NiCO , CuCH_3

C.A. 1992, 116, N 14

CuCO⁺

1992

21 Б1119. Расчет колебательных частот CuCO⁺, NiCO и CuCH₃. The calculation of the vibrational frequencies of CuCO⁺, NiCO and CuCH₃ /Sodupe M., Bauschlicher Charles W. (Jr), Lee Timothy J. //Chem. Phys. Lett.—1992.—189 № 3.—С. 266—272.—Англ.

Методом ССП и методом связанных кластеров с учетом однократных и двукратных возбуждений и с пертурбац. оценкой трехкратных возбуждений рассчитаны колебат. частоты иона CuCO⁺ и молекул NiCO и CuCH₃. Найдено, что частоты электростатически связанныего иона CuCO⁺ существенно отличаются от частот молекулы NiCO с дативной связью. Подтверждено высказанное ранее предположение об ошибочности эксперим. отнесения вал. кол. C—H в CuCH₃. Отмечено, что в целом частоты метода ССП качественно согласуются с частотами метода связанных кластеров. Библ. 36.

А. А. Сафонов

(f2)

X. 1993, N 21

CuCO⁺

1992

8Д88. Расчет колебательных частот CuCO⁺, NiCO и CuCH₃. The calculation of the vibrational frequencies of CuCO⁺, NiCO and CuCH₃ / Sodupe M., Bauschlicher Charles W. (Jr), Lee Timothy J. // Chem. Phys. Lett.. — 1992. — 189, № 3. — С. 266—272. — Англ.

The vibrational frequencies of CuCO⁺, NiCO and CuCH₃ are computed at both the self-consistent-field (SCF) and coupled-cluster singles and doubles, with a perturbational estimate of the triples (CCSD (T)), levels of theory. Overall the SCF frequencies are in qualitative agreement with the CCSD (T) results. The calculations show that the frequencies for the electrostatically bound CuCO⁺ are quite different from the datively bound NiCO. The CCSD (T) calculations support a previous suggestion that the C—H stretches in CuCH₃, have been misassigned.

м.н.

(t2) 18

cf. 1993, N 8

$\text{Cu}(\text{NCO})_2(\text{NH}_3)_2$

1993

120: 147456h A vibrational spectroscopic study of diammine diisocyanatocopper(II), $\text{Cu}(\text{NCO})_2(\text{NH}_3)_2$. Edwards, H. G. M.; Lewis, I. R.; Webb, N. (Chemistry and Chemical Technology, University of Bradford, Richmond Road, Bradford West Yorkshire, UK BD7 1DP). *J. Mol. Struct.* 1993, 301(1-3), 73-80 (Eng). The IR and Raman spectra of $\text{Cu}(\text{NCO})_2(\text{NH}_3)_2$ are reported and comparisons made with the vibrational spectrum of $\text{Zn}(\text{NCO})_2(\text{NH}_3)_2$. Skeletal vibrational assignments were made which are consistent with a trans-planar configuration and centrosym. D_{2h} symmetry. There is no spectroscopic evidence for bridging cyanate ligands, in contrast with previous exptl. reports.

(lk, CKP)

c.a. 1994, 120, n12

C₆CO

1993

Fournier René.

meop.
paerem
steprud
cb.93v,
структурн.
парасигтес

J. Chem. Phys. 1993,
99(3), 1801 - 15.

(ces. Sc CO; $\frac{1}{11}$)

CuCO

1993

Fournier René.

Углекисль
супректура
в основном
сост., неизв.
вблизи Me-Co
(неоп. параметр)

J. Chem. Phys. 1993,
98 (10), 8041 - 50.

● (cer. Cr CO; \bar{m})

CuCN
CuNC
 CuCN^+
 CuNC^+

1993

118: 220124p Binding and isomerization energies for the copper/cyanide (Cu/CN) and Cu(I)CN interactions. Garcia Cuesta, I.; Sanchez de Meras, A.; Nebot Gil, I. (Dep. Quim. Fis., Univ. Valencia, Dr. Moliner, 50, Burjassot, Valencia, Spain 46100). *Chem. Phys.* 1993, 170(1), 1-9 (Eng). Binding and isomerization energies of the CuCN, CuNC, CuCN⁺, and CuNC⁺ systems were investigated by means of a multireference CI perturbatively selected, MRCI-PS approach. The inclusion of the main dynamical correlation effects are evaluated. The binding energies for CuCN and CuNC are 4.37 and 4.03 eV, resp., and those for CuCN⁺ and CuNC⁺ are 0.08 and 1.61 eV. Calcd. isomerization energies are 7.86 and 33.98 kcal/mol for CuCN and Cu(I)CN isomerizations, resp.

mechanism
nucleus
influence
chemical reaction
chemistry
C.A. 1993, 118, N 22

1993

F: Cu⁺HCN

P: 3

7Б179. Квантово-химическое исследование комплексов HCN-Cu и HNC-Cu в газовой фазе. Quantum chemical investigation of HCN-Cu and HNC-Cu gas phase complexes / Hunstock E., Muller B., Stach J., Reinhold J. // J. Mol. Struct. Theochem. - 1993. - 101, N 3. - C. 265-269. - Англ.

Р.Ж.Х. № 7, 1996.

HCuCO

1994

17 Б1105. Неэмпирическое исследование HCuCO. An ab initio study of HCuCO / Bauschlicher Charles W. (Jr) // Chem. Phys. Lett. — 1994. — 229, № 6. — С. 577—580. — Англ.

Методом связанных кластеров с учетом одно- и двукратных, а также частично трехкратных возбуждений и использованием расширенных базисов гауссова типа исследовано соед. HCuCO (I). Показано, что I имеет линейную структуру, в отличие от CuCO, и связь Cu—CO в I более прочная, чем в CuCO. Н. С.

МЛ

Х. 1995, N 17

CuCO

1994

ab initio
vacuum energy)

θ_0 , ρ_i

120: 173901u An ab initio study of CuCO. Bauschlicher, Charles W., Jr. (Ames Res. Cent., NASA, Moffett Field, CA 94035 USA). *J. Chem. Phys.* 1994, 100(2), 1215-18 (Eng). Modified coupled-pair-functional (MCPF) calcns. and coupled cluster singles-and doubles calcns., which include a perturbational est. of the connected triples [CCSD(T)], yielded a bent structure for CuCO, thus, supporting the prediction of a nonlinear structure based on d.-function (DF) calcns. In the present work, the best est. for the binding energy is 4.9 ± 1.4 kcal/mol; this is in better agreement with expt. (6.0 ± 1.2 kcal/mol) than the DF approach, which yielded a value (19.6 kcal/mol) significantly larger than expt. Vibrational frequencies were also calcd.

C.A. 1994, 120, N14

1994

field

120: 253924u Relativistic effects in gold chemistry. V. Group IB dipole polarizabilities and weak bonding in monocarbonyl compounds. Schwerdtfeger, Peter; Bowmaker, Graham A. (Dep. Chem., Univ. Auckland, Auckland, N. Z.). *J. Chem. Phys.* 1994, 100(6), 4487-97 (Eng). Hartree-Fock and Moeller-Plesset second-order (MP2) calcns. were done to study the the stability and structure of open-shell Group IB monocarbonyl compds. MCO (M = Cu, Ag, and Au). AgCO was calcd. to be a very weakly bound mol. with a dissociation energy of less than 1 kJ/mol; this casts some doubt on the previously reported identification of this species in matrix-isolation studies. AuCO is stable only if relativistic effect are included, which explains the recently obsd. anomaly in the strength of the metal-CO interaction within the Group IB series. The metal-carbonyl interactions in CuCO and AuCO are relatively weak, with dissociation energies of about 30 kJ/mol, and can be best described as a combination of dispersion, donor-acceptor (charge-transfer), and repulsive interactions. The MP2 Cu-CO dissociation energy of 32 kJ/mol is in good agreement with the estd. exptl. value of 23 ± 6 kJ/mol. At the highest level of theory, AuCO possesses a bent geometry with a bond angle of 151° at the MP2 level, but this

Chas. Smith
Cryokinetics
MSDP - facsimile



(72)

AgCO, AuCO

C.A. 1994, 120, N 20

arrangement lies only 2 kJ/mol below the linear structure. The basis-set superposition error and the role of metal f-functions are discussed. Dipole polarizabilities were calcd. for the Group IB elements at various levels of electron correlation in order to discuss dispersion interactions. These were found to be very sensitive to relativistic and electron-correlation effects. For the neutral gold atom, relativistic effects on the dipole polarizability became comparable to electron-correlation contributions. The multielectron, adjusted Group IB pseudopotentials gave reliable results for the at. and mol. properties discussed.

1995

F: CuCO

P: 3

11Б196. Пригодность гибридного приближения метода самосогласованного поля для изучения комплексов переходных металлов. NiCO и CuCO как пример. Validation of self-consistent hybrid approaches for the study of transition metal complexes. NiCO and CuCO as case studies / Barone V. // Chem. Phys. Lett. - 1995. - 233, N 1 - 2. - С. 129-133. - Англ. Обсуждены перспективы использования неэмпирич. квантово-хим. расчетов в приближении метода функционала плотности с использованием обменної поправки Бекке и корреляц. функционала Ли-Янга-Парра (B3LYP) для расчета структур, энергий связи и гармонич. силовых полей комплексов переходных металлов. Приведены результаты расчетов комплексов NiCO и CuCO. Показано, что использованное приближение имеет более высокую точность по сравнению с традиционно используемыми расчетами выходящими за пределы приближения ХФ. В случае учета суперпозиц. ошибки базисов

X-1996, N 11

рассчитанные методом B3LYP значения энергий связи хорошо согласуются с эксперим. данными. Библ. 35.

F: CuCO

P: 3

1995

5Б144. Исследование строения, термохимии и магнитных свойств бинарных карбонилов меди методом функционала плотности. Structure, thermochemistry, and magnetic properties of binary copper carbonyls by a density-functional approach / Barone V. // J. Phys. Chem. - 1995. 99, N 30. - С. 11659-11666. - Англ.

Методом функционала плотности в расширенных базисах с использованием различных функционалов рассчитана равновесная геометрия, энергии связи и константы сверхтонкого расщепления для $\text{Cu}(\text{CO})[x]$, $x=1-3$. Для $x=1$ наиболее выгодна линейная структура с барьером инверсии около 15 кДж/моль, однако константы для линейной и изогнутой форм близки друг к другу. В согласии с экспериментом присоединение второй группы CO приводит к линейной системе {2}'ПИ' с почти нулевым расщеплением. В случае $x=3$ с плоской треугольной структурой природа связи не изменяется. Показано, что для получения правильных энергий связи недостаточно учитывать градиентные поправки, а нужно включать и энергию хартри-фоковского обмена. Библ 72.

Р.Ж.Х. NS, 1996

F: Cu(CO)3

P: 3

5Б144. Исследование строения, термохимии и магнитных свойств бинарных карбонилов меди методом функционала плотности. Structure, thermochemistry, and magnetic properties of binary copper carbonyls by a density-functional approach / Barone V. // J. Phys. Chem. - 1995. 99, N 30. - С 11659-11666. - Англ.

Методом функционала плотности в расширенных базисах с использованием различных функционалов рассчитана равновесная геометрия, энергии связи и константы сверхтонкого расщепления для $\text{Cu}(\text{CO})[x]$, $x=1-3$. Для $x=1$

наиболее выгодна линейная структура с барьером инверсии около 15 кДж/моль, однако константы для линейной и изогнутой форм близки друг к другу. В согласии с экспериментом присоединение второй группы СС приводит к линейной системе {2}ПИ' с почти нулевым расщеплением. В случае $x=3$ с плоской треугольной структурой природа связи не изменяется. Показано, что для получения правильных энергий связи недостаточно учитывать градиентные поправки, а нужно включать и энергии хартри-фоковского обмена. Библ 72.

1995

P.J.X. NS, 1996

lit 0

$\text{Cu}(\text{CO})_x$

$\text{Cu}(\text{CO})_3$

M.H.

X. 1996, N5

1995

У 5 Б144. Исследование строения, термохимии и магнитных свойств бинарных карбонилов меди методом функционала плотности. Structure, thermochemistry, and magnetic properties of binary copper carbonyls by a density-functional approach / Barone V. // J. Phys. Chem. — 1995. — 99, № 30. — С. 11659—11666. — Англ.

Методом функционала плотности в расширенных базисах с использованием различных функционалов рассчитана равновесная геометрия, энергии связи и константы сверхтонкого расщепления для $\text{Cu}(\text{CO})_x$, $x=1—3$. Для $x=1$ наиболее выгодна линейная структура с барьером инверсии около 15 кДж/моль, однако константы для линейной и изогнутой форм близки друг к другу. В согласии с экспериментом присоединение второй группы CO приводит к линейной системе ${}^2\Pi$ с почти нулевым расщеплением. В случае $x=3$ с плоской треугольной структурой природа связи не изменяется. Показано, что для получения правильных энергий связи недостаточно учитывать градиентные поправки, а нужно включать и энергии хартри-фоковского обмена. Библ. 72. Н. Л.

F: Cu(CO)2

P: 3

1995

5Б144. Исследование строения, термохимии и магнитных свойств бинарных карбонилов меди методом функционала плотности. Structure thermochemistry, and magnetic properties of binary copper carbonyls by a density-functional approach / Barone V. // J. Phys. Chem. - 1995. 99, N 30. - С 11659-11666. - Англ.

Методом функционала плотности в расширенных базисах с использованием различных функционалов рассчитана равновесная геометрия, энергии связи и константы сверхтонкого расщепления для $\text{Cu}(\text{CO})[x]$, $x=1-3$. Для $x=1$ наиболее выгодна линейная структура с барьером инверсии около 15 кДж/моль, однако константы для линейной и изогнутой форм близки друг к другу. В согласии с экспериментом присоединение второй группы CO приводит к линейной системе {2}ПИ' с почти нулевым расщеплением. В случае $x=3$ с плоской треугольной структурой природа связи не изменяется. Показано, что для получения правильных энергий связи недостаточно учитывать градиентные поправки, а нужно включать и энергию хартри-фоковского обмена. Библ 72.

Р.Ж.Х. №5, 1996

1995



$n \leq 3$

CM-pa, Help -
Mil cheltu,
meop. facret

123: 41298e Structure, Thermochemistry, and Magnetic Properties of Binary Copper Carbonyls by a Density-Functional Approach. Barone, Vincenzo (Dipartimento di Chimica, Universita Federico II, I-80134 Naples, Italy). *J. Phys. Chem.* 1995, 99(30), 11659-66 (Eng). The structure, binding energy, and hyperfine coupling consts. of mononuclear copper carbonyls ($\text{Cu}(\text{CO})_n$, $n = 1-3$) have been studied using extended basis sets with a no. of different d. functionals. In the case of CuCO , all the methods agree in forecasting a bent equil. structure with a significant barrier to linearity ($\approx 15 \text{ kJ mol}^{-1}$). Hyperfine coupling consts. computed for bent and linear structures are very similar, thus ruling out the need for a linear structure to explain the ESR spectrum. In agreement with exptl. data, addn. of a second CO mol. leads to a $^2\Pi$ linear complex with vanishingly small hyperfine splittings but enhanced stability due to the redn. of two-orbital three-electron repulsive interactions. The bond pattern then remains essentially the same in $\text{Cu}(\text{CO})_3$, which assumes a planar trigonal equil. structure. From a quant. point of view, local d. functionals give extremely high binding energies and also generalized gradient corrections are not sufficient to completely rectify matters. Introduction of some Hartree-Fock exchange in the functional delivers a further significant improvement, approaching the accuracy of the most refined post Hartree-Fock computations. Purposely tailored basis sets are also introduced which are small enough to be used in mol. computations but are essentially free from basis set superposition error.

C.A. 1995, 123, N.Y.

CuCN

1995

CuNC

122: 248824y Theoretical study of species formed by I_A and I_B metals or ions and a CN ligand. Bouslama, Lotfi; Daoudi, Abdelali; Mestdagh, Helene; Rolando, Christian; Suard, Michele (Dep. Chim., Ecole Normale Supérieure, 75231 Paris, Fr.). *J. Mol. Struct.* 1995, 330, 187-90 (Eng). Multireference second-order perturbation calcns. have been carried out for copper and sodium complexes involving one CN ligand. Neutral compds. are strongly linked, cyanides M-CN being more stable than isocyanides M-NC (M = Cu, Na) as in the case of the pair HCN/HNC. Cations are much less strongly linked, Cu-NC⁺ being predicted to be the only system having a fairly bound structure, at variance with the dominance of the cyanide form in the HCN⁺/HNC⁺ pair.

(снадушибор)

NaCN, NaNC

⑦ ⑧

C.A. 1995, 122, N20

CiCD

(M. 38280)

1995

Carlo Adano, Francesco Lelf

meop. pacet

CNP-PR, J. Chem. Phys., 1995,

do 103 (24), 10005 - 10013.

A hybrid density functional study of the first-row transition-metal monocarbo nyles.

F: CuC₂H₄

1995

P: 3

Б139. Теоретическое исследование связывания аммиака, монооксида углерода и этилена с атомом, димером и тримером меди. Theoretical study of the bonding of ammonia, carbon monoxide, and ethylene, to copper atom dimer, and trimer / Fournier R. // J. Chem. Phys. - 1995. - 102, N 13. - С. 5396-5407. - Англ.

Методом функционала плотности в варианте Конна-Шэма исследованы ассоциативные комплексы Cu[x]-A, x=1-3, A=NH[3], CO, C[2]H[4]. Рассмотрены структуры с координацией лигандов к одному-трем атомам С одновременно. Приведена равновесная геометрия, колебательные частоты. Для всех случаев наиболее стабильными найдены однокоординированные структуры, однако для Cu[3]CO и Cu[3]C[2]H[4] структуры с координацией к двум атомам Cu лишь на несколько ккал/моль выше по энергии. Вклад релаксации геометрии Cu[3] изменяется от 0 до 3,4 ккал/моль. Для всех лигандов в согласии с эксперим. данными энергия связи увеличивается с ростом x. Обсуждена природа связи и сдвиги колебательных частот при комплексообразовании.

Р.Ж.Х. N 5, 1996

F: CuCO

P: 3

5Б139. Теоретическое исследование связывания аммиака,monoоксида углерода и этилена с атомом, димером и тримером меди. Theoretical study of the bonding of ammonia, carbon monoxide, and ethylene, to copper atom dimer, and trimer / Fournier R. // J. Chem. Phys. - 1995. - 102, N 13. - C. 5396-5407. - Англ.

1995

Методом функционала плотности в варианте Конн-Шэма исследованы ассоциативные комплексы $\text{Cu}[x]\text{-A}$, $x=1\text{-}3$, $\text{A}=\text{NH}_3[3]$, CO, $\text{C}_2\text{H}_4[4]$. Рассмотрены структуры с координацией лигандов к одному-трем атомам С одновременно. Приведена равновесная геометрия, колебательные частоты. Для всех случаев наиболее стабильными найдены однокоординированные структуры, однако для $\text{Cu}[3]\text{CO}$ и $\text{Cu}[3]\text{C}_2\text{H}_4[4]$ структуры с координацией к двум атомам Си лишь на несколько ккал/моль выше по энергии. Вклад релаксации геометрии $\text{Cu}[3]$ изменяется от 0 до 3,4 ккал/моль. Для всех лигандов в согласии с эксперим. данными энергия связи увеличивается с ростом x . Обсуждена природа связи и сдвиги колебательных частот при комплексообразовании.

Р.Ж.Х. №5, 1996

1995

F: Cu₂CO

P: 3

5Б139. Теоретическое исследование связывания аммиака,monoоксида углерода и этилена с атомом, димером и тримером меди. Theoretical study of the bonding of ammonia, carbon monoxide, and ethylene, to copper atom, dimer, and trimer / Fournier R. // J. Chem. Phys. - 1995. - 102, N 13. - C. 5396-5407. - Англ.

Методом функционала плотности в варианте Кона-Шэма исследованы ассоциативные комплексы Cu[x]-A, x=1-3, A=NH[3], CO, C₂H[4]. Рассмотрены структуры с координацией лигандов к одному-трем атомам С одновременно. Приведена равновесная геометрия, колебательные частоты. Для всех случаев наиболее стабильными найдены однокоординированные структуры, однако для Cu[3]CO и Cu[3]C₂H[4] структуры с координацией к двум атомам Си лишь на несколько ккал/моль выше по энергии. Вклад релаксации геометрии Cu[3] изменяется от 0 до 3,4 ккал/моль. Для всех лигандов в согласии с эксперим. данными энергия связи увеличивается с ростом x. Обсуждена природа связи и сдвиги колебательных частот при комплексообразовании.

P.Ж.Х. NS, 1996

1995

F: Cu₃CO

P: 3

5Б139. Теоретическое исследование связывания аммиака,monoоксида углерода и этилена с атомом, димером и тримером меди. Theoretical study of the bonding of ammonia, carbon monoxide, and ethylene, to copper atom, dimer, and trimer / Fournier R. // J. Chem. Phys. - 1995. - 102, N 13. - С. 5396-5407. - Англ.

Методом функционала плотности в варианте Кона-Шэма исследованы ассоциативные комплексы Cu[x]-A, x=1-3, A=NH[3], CO, C[2]H[4]. Рассмотрены структуры с координацией лигандов к одному-трем атомам С одновременно. Приведена равновесная геометрия, колебательные частоты. Для всех случаев наиболее стабильными найдены однокоординированные структуры, однако для Cu[3]CO и Cu[3]C[2]H[4] структуры с координацией к двум атомам Си лишь на несколько ккал/моль выше по энергии. Вклад релаксации геометрии Cu[3] изменяется от 0 до 3,4 ккал/моль. Для всех лигандов в согласии с эксперим. данными энергия связи увеличивается с ростом x. Обсуждена природа связи и сдвиги колебательных частот при комплексообразовании.

P.H. X. NS, 1996

$\mu(CD)_x^+$

[Inv. 37953]

1995

(X=1-4)

Franc Meyer, Yu-Min Chen,
Armentrout[†] P.B.,

Frequency
Circles,

MACC -
creeps.

J. Am. Chem. Soc.,
1995, 117, 4071-4081.

Sequential



Bond Energies

of $\text{Re}(CD)x^+$ and $\text{Ag}(CD)x^+$ ($x = f_4$)



1995

Holthaeusen M.C.

Mohr M. et al.

meop:
pacrēm
Heesuus
cf. 93er

Chem. Phys. Lett. 1995,
240 (4), 245-52.



CuCS_2

1995

Tsuring Gwang - Hc.

greena Chem. Phys. Lett.
el. 83er,
catalyst.,
recrystallized
1995, 237 (1, 2),
65-71.



(catal. CaCS_2 ; $^{\text{iii}}$)

CaCO_3

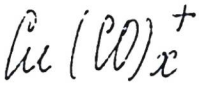
1995

Young Gwang-Hi.

Синтез. Chem. Phys. Lett.

1995, 232(4), 319-
327.

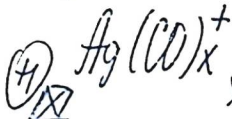
(см. CaCO_3 ; III)



$$x = 1 \div 4$$

1995

Hilpman
Chen



$$x = 1 \div 4$$



C.A. 1995, 122, N18

122: 223385t Sequential Bond Energies of $\text{Cu}(\text{CO})_x^+$ and $\text{Ag}(\text{CO})_x^+$ ($x = 1\text{-}4$). Meyer, Franc; Chen, Yu-Min; Armentrout, P. B. (Department of Chemistry, University of Utah, Salt Lake City, UT 84112 USA). *J. Am. Chem. Soc.* 1995, 117(14), 4071-81 (Eng). The sequential bond energies of $\text{Cu}(\text{CO})_x^+$ and $\text{Ag}(\text{CO})_x^+$ ($x = 1\text{-}4$) are detd. by collision-induced dissociation in a guided ion beam tandem mass spectrometer. Values (in eV) for the 0 K $(\text{CO})_{x-1}\text{Cu}^+ - \text{CO}$ bond energies are found to be 1.54 ± 0.07 , 1.78 ± 0.03 , 0.78 ± 0.04 , and 0.55 ± 0.03 for $x = 1\text{-}4$, resp., while those for $(\text{CO})_{x-1}\text{Ag}^+ - \text{CO}$ are detd. to be 0.92 ± 0.05 , 1.13 ± 0.04 , 0.57 ± 0.08 , and $0.47^\circ (+0.19, -0.04)$ for $x = 1\text{-}4$, resp. The energies for loss of one CO from the mono- and dicarbonyls of both metal ions disagree with one set of theor. values, but those for $\text{Ag}(\text{CO})_x^+$ ($x = 1\text{-}3$) are in excellent agreement with more recent theor. predictions and help verify the trends in stability found for these complexes in recent synthetic studies. Trends in bond dissociation energies with increasing ligation are discussed for both systems and compared to those for isoelectronic $\text{Ni}(\text{CO})_x$ and $\text{Co}(\text{CO})_x^-$ complexes.

ChieCO

1996

21 Б147. Стабильность карбонильных комплексов
Cl—M—CO элементов 11 группы (M=Cu, Ag, Au). Stability of group 11 carbonyl complexes Cl—M—CO (M=Cu, Ag, Au) / Antes I., Dapprich S., Frenking G., Schwerdtfeger P. // Inorg. Chem. — 1996. — 35, № 7. — С. 2089—2096. — Англ. . Место хранения ГПНТБ

Обсуждены электронное строение и стабильность карбонильных комплексов хлоридов ClMCO (M=Cu, Ag, Au). Проведены неэмпирич. расчеты (ХФ + МП2) этих систем с учетом корреляц. эффектов и с использованием релятивистских и нерелятивистских псевдопотенциалов для атомов металла. Рассчитаны структурные характеристики и частоты колебаний. Показано, что учет релятивистских поправок значительно увеличивает энергию диссоциации ClAu—CO. Установлено хорошее совпадение рассчитанных и эксперим. данных. Отмечено, что вклад d- и p-АО атома металла в связывающие MO по отношению к взаимодействию металл—лиганд весьма существен, в отличие от оценок, полученных из мёссбауэровских спектров. Обсуждены значения градиента электрического поля. Отмечено, что эти величины сильно зависят от корреляц. эффектов.

И. В. Станкевич

(t2) ~~12~~

Электрон
Страницы,
Стабильность

X 1996, N 28.

ClAgCO, ClAuCO

1996

Li₂CO₃

Li₂SiO₅

Sosa, Ramon M., et al.,

meds.
pacien
Cmp-PII,
Di, DO
Int. J. Quantum Chem.

1996, 60, 217-229.

(all. FeCO; II)

$\text{Fe}^{n\text{C}}$
 $n=1,5$

mechanical
comp- μC ,
do, neg.
pacet

Sosa, Ramon M; et al., 1997

Int. J. Quantum Chem.
1997, 65(15), 919-928

(all. $\text{Fe}^{n\text{C}};$)

Licite

Licite

[Om 39047]

1997

Ramon M. Sosa[†], Patricia
Fardiol,

Gremp-
Campa,
planet

y. Mol. Struct (Theocrem)
1997, 394, N²- $\bar{3}$,
249-258

Cu_nCO
 $n=1,5$

(OM 39193)

1997

Ramón M. Sosa, Patricia
Fadriol et al.,
Internat. J. Quantum
Chem., 1997, 85, 919-928

CuCl

n = 1,5

(OM 39193)

1997

Ramón M. Sosa, Patricia
Fadriol et al.,

Макромол.
comp.-pa,
neop.
pacrem

Internat. J. Quantum-
Chem., 1997, 65, 919-928

Cu^+-OCD

[Om. 38995]. 1997

nonempirical,
do.
nonempirical
method:
vacuum

Sodipe M* and Brancha -
dell et al.,

J. Phys. Chem. A 1997,
101, 7854-7859

$\mu_{\text{CD}}, \text{C}_{\text{en}}\text{CD}$
 $n = 1,5$ Losa, Ramon M; et al;¹⁹⁹⁷

Int. J. Quantum-
Chem. 1997, 68(15),
DOI(CD-O) 919-928

(all. $\text{Fe}_{\text{en}}\text{Cl}_3$  III)



1998

Fan, Hong-Yen; et al.,

ab initio
pacem
cmpl-PR
 μ

Chem. Rev. Chin. Univ.
1998, 14(2), 183-193

Charged

(all. Sc^+Cl_2 ; Li^+)

$\text{Li}^+(\text{C}_2\text{O}_4)_3$ 1998

Kemper, Paul R; et al.,

(reference J. Am. Chem. Soc., 1998)

coffee, 120 (51), 13494-502

meop.
patent

(an. ● $\text{Li}(\text{H}_2\text{O})_n$; Li^+)

$\text{Cu}^+ \text{Cl}_2$

1999

Fan, Hong-Yen; et al;

cmp-pa,
cmadvent;
meopem·
pacem

Chem. Phys. Lett.,
1999, 300(3,4), 387-388.

(all. $\text{Sc}^+ \text{Cl}_2$; III)

CuCO

1999

130: 358670t Far-infrared spectrum and structure of copper monocarbonyl isolated in solid argon. Tremblay, Benoit; Manceron, Laurent (Departement Genie Thermique et Energie, Institut Universitaire de Technologie de Pau, 64000 Pau, Fr.). *Chem. Phys.* 1999, 242(2), 235-240 (Eng), Elsevier Science B.V.. The vibrational spectrum of ground-state CuCO isolated in solid argon at low temp. has been reinvestigated. The strongly IR absorbing mode, ν_1 , the low-frequency metal-ligand stretching and bending modes ν_2 and ν_3 have been measured in the far-IR region. With the help of various isotopic substitutions using Cu ^{12}C ^{16}O , Cu ^{13}C ^{16}O and Cu ^{12}C ^{18}O and harmonic force-field calcns. based on the assumption of linear and bent geometries, some of the mol: parameters (bond-force consts. and valence angle) can be estd. and compared with theor. predictions and to those derived for NiCO.

JK 8
(Mampurie)

C.A., 1999, 130, 126

O₂CO⁻

1999

O₂CO₂^{*}

Zhou, Mingfei, et al.,

UK 6

Manganese,
Di

J. Phys. Chem. 1999,
103 (13), 2013 - 2023

F: Cu(CO) n +

P: 3

131:329080 Infrared spectra and density functional calculations of Cu(CO) Cu(CO)1-3, and Cu(CO)1-3- in solid neon. Zhou, Mingfei; Andrews, Lester

Department of Chemistry, University of Virginia
Charlottesville, VA 2290 USA J. Chem. Phys.,

111(10), 4548-4557 (English) 1999 Laser-ablated Cu

atoms, cations, and electrons react with CO mols. to give binary Cu carbonyl neutral complexes as well as cation and anion complexes which are isolated in solid Ne and Ar matrixes. Based on isotopic substitutions as well as density functional calcns. of isotopic frequencies, absorptions at 2230.4, 2211.3, and 2202.1 cm $^{-1}$ in Ne are assigned to C-O stretching vibr of the linear CuCO $^{+}$ and Cu(CO) $_{2}^{+}$, trigonal planar Cu(CO) $_{3}^{+}$, and tetrahedral Cu(CO) $_{4}^{+}$ cations.

1999

The absorptions at 1746.2, 1793.9, and 1838.9 cm⁻¹ in at 1733.4, 1780.8, and 1829.7 cm⁻¹ in Ar are assigned to the linear CuCO- Cu(CO)₂⁻, and trigonal planar Cu(CO)₃⁻ anions, resp. The solid Ne observ of Cu(CO)₁₋₃ are 20-9 cm⁻¹ blue shifted from the Ar matrix counterparts, are in agreement with previous thermal Cu atom matrix isolation studies. work provides the 1st vibrational spectra of Cu(CO)₁₋₄⁺ and Cu(CO)₁₋₃⁻.

F: CuCN-

P: 3

132:243448 Vibrationally resolved photoelectron spectra of CuCN- and AgCN and ab initio studies of the structure and bonding in CuCN. Boldyrev, Alexander I.; Li, Xi; Wang, Lai-Sheng

Department of Chemistry and Biochemistry,
Utah State University Logan, UT 84322-0300, USA

J. Chem. Phys., 112(8), 3627-3632 (English)

2000 Vibrationally resolved photoelectron spectroscopy is combined with ab initio calcns. to study the structure and chem. bonding in CuCN, CuCN-, A and AgCN-. The photoelectron spectra were measured at 2 photon energies, and 355 nm and only detachment to the ground state of the neutral was obs at both detachment energies. The adiabatic electron

C.A. 2000, 132

affinity and metal-C vibrational frequency were obtained to be 1.466 (0.010) eV and 480(30) cm 1.588 (0.010) eV and 390(30) cm⁻¹ for CuCN and AgCN, resp.

In the ab ini calcns., both CuCN and CuCN⁻ have linear C.infin.V structures. Isocyanid CuNC and CuNC⁻ are 10.7 and 6.5 kcal/mol [at the CCSD(T)/6-311+G(3d)//CCSD(T)/6-311+G* level of theory] higher in energy. Cyclic structures are transition states for the cyanide-isocyanide isomerization. The calcd. electron binding energies and vibrational frequency are in goo agreement with the exptl. measurements. The combined exptl. and theor. efforts allow one to elucidate the structures of CuCN and CuCN⁻, and the nature of their chem. bonding.

Su P3

CiSP3⁺

LOM-40689

2080

Mingdei Zhou and
Lester Andrews,

J. Phys. Chem. # 2080,
Vol. 4394 - 4401.

CluOCD (Om. 40598) 2000

Mingfei Zhou et al;

J. Phys. Chem. 2000, A104,
N 45, 10159 - 10164

Carbon dioxide fixation by
Copper and silver Halide
Matrix-isolation FTIR

Spectroscopic and DFT studies
of the XM₂OCO (X=Cl, Br, M=
Au and Ag).

BruCCO (DM 40598) 2000

Mingfei Zhou et al.,

J. Phys. Chem. 2000, A104,
N45, 10159 - 10164.

Carbon dioxide Fixation by
copper and silver halide.
Matrix-isolation FTIR

Spectroscopic and DFT
Studies of the XMCD ($X = Cl$,
 Br , $M = Cu$ and Ag)

F: C_n(CN)_m

P: 3

2000

133:273628 Photoelectron spectroscopy of copper cyanide cluster anions. On the possibility of linear and ring structures. Negishi, Yuichi; Yasuike, Tomokazu; Hayakawa, Fumitaka; Kizawa, Miki; Yabushita, Satoshi; Nakajima, Atsushi; Kaya, Koji Faculty of Science and Technology, Department of Chemistry, Keio University Kohoku-ku, Yokohama 223-8522, Japan J.

Chem. Phys., 113(5), 1725-1731 (English) 2000.

The electronic properties of copper cyanide cluster anions [C_n(CN)_m⁻; n = 1-6, m = 1-6] were studied using photoelectron spectroscopy (PES) with a magnetic-bottle type electron spectrometer. Both the anions and the cations of the C_n(CN)_m cluster were generated by laser vaporization of a molded Cu cyanide rod in a He carrier gas. In the mass

spectra, abundant clusters were produced at the compn. of $(n,m) = (n, n+1; n = 1-6)$ and $(n, n; n = 4$ and 5) for the anions, whereas more abundant clusters were obsd. at $(n, n-1; n = 1-9)$ for the cations. The stability of $Cun(CN)n+1-$ and $Cun(CN)n-1+$ clusters is attributed to their electronic structure, where ionic Cu^+ and CN^- are linked alternately in a linear geometry. The PES spectra of the $Cun(CN)m-$ anions show that the $(n, n+1)$ clusters exhibit an extremely large EA of >4.5 eV, while the EA's of the less abundant (n,n) clusters increase monotonously with cluster size from 1.3 eV ($n = 1$) to 3.12 eV ($n = 6$), except for $n = 4$ and 5. Together with theor. calcns. by the d. functional theory (DFT), 2 different linear isomers were found for (n,n) clusters, where CN takes a opposite direction toward Cu. For $Cu_4(CN)_4^-$ and $Cu_5(CN)_5^-$, moreover, the PES spectra show 2 components of distinctly different peak shape, suggesting that a ring isomer should coexist with the linear ones.

F: Cu(CO) n^+

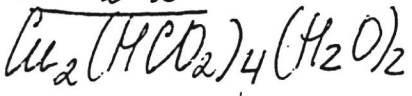
2000

P: 3

132:142181 Copper(I) and silver(I) carbonyls. To be or not to be nonclass. Strauss, Steven H. Department of Chemistry, Colorado State University Fort Collins, CO 80523, USA J. Chem. Soc., Dalton Trans., (1), 1-6 (English) 2000 The traditional, or classical, picture of M-CO bonding is not a good mode for more than 200 metal carbonyl species with av. ν_{CO} values greater 2143 cm $^{-1}$. These "nonclassical" complexes, exemplified in this Perspective the cations Cu(CO) n^+ and Ag(CO) n^+ ($n = 1-4$), possess M-CO interactions th best described as M.ltwarw.CO .sigma. bonds having a significant electros component. There is relatively little M.fwdarw.CO .pi. back-bonding. Ho despite the similarity in ν_{CO} values, homologous Cu(CO) n^+ and Ag(CO) complexes behave differently when subjected to perturbations such as stre the metal-carbon bonds or adding a pair of weak ligands to the metal cent

C.H. 2000, 132

CuCl₃
CuCl₂



proleka

menya

racita

DFT

& Raymerick
mudauken.

Legge, F. Jee et al.,
2001

J. Phys. Chem.

2001, 105 (33),
7905-16

● (see CuI; III)



2007

мокрка

Legge, F. Sui; et al.,

менова

J. Phys. Chem. A 2001,

расчета

105 (33), 7905 - 16

DFT

с различн.
раствор.(ал. ● Cu^{II}, III)

$\text{Cu}_2(\text{CO})_x$

[OM: 41096]

2001

$x=1-6$

Qianshu Li and Yongdong Liu
et al.,

Inorg. Chem., 2001, 40,
5842-5850

Binuclear homopartic copper
carbonyls $\text{Cu}_2(\text{CO})_x$ ($x=1-6$).

Remarkable structures
Contrasting metal-metal
multiple bonding with
low-dimensional copper
bonding manifolds.

Om 41579 [Om. 41571]

2002

Chad Lee P.B. Armentrout
et al.,

Do($\text{Li}^+ - \text{CS}$)

J. Phys. Chem. 2002,

A106, 9788-97.

Guided Ion ● Beam Studies

of the reactions of Ni^+ , Cu^+
and Zn^+ with Cl_2 and CO_2 .

CuNC
CuCN

[OM 41401]

2002

Douglas B. Brotjahn et al.,

non-
cnp-pr,
nonmer,
diss Cu-C

J. Am. Chem. Soc.,
2002, 124, 5895-5901.

l.m. 41501
2002
Cu-C-(N, P)As)

Falians L., Alcanit
et al;

Ms.

J. Phys. Chem., 2002,
AIC, 98 06-932.